

TỐI ƯU HÓA PHẢN ỨNG THỦY PHÂN SỤN KHỚP CHÂN GÀ VỚI XÚC TÁC ENZYME PROTAMEX NHẰM THU DỊCH AXIT AMIN

Nguyễn Thị Minh Nguyệt¹, Nguyễn Thị Kim Chi¹,
Bùi Viết Cường^{1,*}, Bùi Xuân Đông¹

TÓM TẮT

Nghiên cứu được tiến hành với mục đích tối ưu hóa phản ứng thủy phân sụn khớp chân gà với xúc tác enzyme Protamex nhằm thu dịch axit amin. Các yếu tố ảnh hưởng đến phản ứng thủy phân sụn khớp chân gà được lựa chọn để tối ưu: Nhiệt độ phản ứng (°C), pH môi trường phản ứng, tỉ lệ enzyme (%), dựa trên cơ chất), thời gian phản ứng (phút) và tỉ lệ thể tích môi trường phản ứng: cơ chất (mL: g). Phương trình hồi quy: $H = -27,6 + 0,81X_1 - 3,74X_2 + 48,0X_3 + 0,303X_4 + 0,134X_5 + 0,22X_1X_2 - 2,13X_1X_3 - 0,0365X_1X_4 - 0,00865X_1X_5 - 0,88X_2X_3 + 0,0084X_2X_4 + 0,0076X_2X_5 - 1,406X_3X_4 + 0,207X_3X_5 + 0,00902X_4X_5 + 0,0241X_1^2 - 0,481X_2^2 + 68,1X_3^2 + 0,01363X_4^2 + 0,00043X_5^2$, trong đó, H: Hiệu suất thu nhận nitơ axit amin (%), X₁: Nhiệt độ phản ứng (°C), X₂: pH môi trường phản ứng, X₃: Tỉ lệ enzyme (%), dựa trên cơ chất), X₄: Thời gian phản ứng (phút), X₅: Tỉ lệ thể tích môi trường phản ứng: cơ chất (mL: g). Nghiệm tối ưu: X₁ = 28,1079°C; X₂ = 3,92793; X₃ = 0,282159%; X₄ = 63,7841 (phút); X₅ = 137,568 (mL: g) với hiệu suất thu nhận nitơ axit amin đạt giá trị cực đại H_{max} = 87,7969% và kì vọng d = 1. Nghiệm tối ưu của phương trình hồi quy được kiểm tra bằng thực nghiệm với H_{max} = 86,28 ± 1,59%. Nghiên cứu đã từng bước góp phần nâng cao khả năng ứng dụng của phản ứng thủy phân sụn khớp chân gà nhằm thu dịch axit amin với xúc tác enzyme Protamex.

Từ khóa: Enzyme Protamex, hiệu suất thu nhận nitơ axit amin, tối ưu hóa, phản ứng thủy phân, sụn khớp chân gà.

1. ĐẶT VẤN ĐỀ

Xử lý và chế biến chất thải rắn từ các phụ phẩm giết mổ gia súc, gia cầm thành các sản phẩm có giá trị nhằm nâng cao hiệu quả kinh tế và giảm lượng chất thải rắn là thử thách lớn và thu hút sự quan tâm nghiên cứu của cộng đồng khoa học [1]. Công nghiệp giết mổ gà đã thải ra môi trường một lượng lớn phụ phẩm hữu cơ: Nội tạng, chân, đầu... lượng phụ phẩm này chiếm 37% tổng khối lượng của gà giết mổ [2]. Các biện pháp xử lý thông thường: Chôn, lấp, ú... tiềm ẩn các nguy cơ xấu đến môi trường: Ô nhiễm nước, không khí, lây truyền dịch bệnh... là gánh nặng của việc xử lý môi trường. Hiện nay, sụn khớp chân gà được sử dụng làm thức ăn chăn nuôi, phân bón hữu cơ, sản

xuất hóa chất ở các nước phát triển. Vì có giá trị dinh dưỡng cao nên sụn khớp chân gà được sử dụng làm thực phẩm cho con người với số lượng nhỏ tại châu Á [1]. Collagen có hoạt tính sinh học cao: Xóa nếp nhăn trên da, làm mượt da, chống lão hóa, và nâng cao sức khỏe xương khớp được phát hiện trong sụn khớp chân gà [3, 4]. Tuy nhiên, collagen không thể tiêu hóa và hấp thụ hoàn toàn trong hệ thống tiêu hóa của con người, phần còn sót lại có thể sẽ bị phân hủy và hình thành độc tố: Amoniac, phenol, benzpyrol,... trong khi đó các axit amin có thể được hấp thụ hoàn toàn [5].

Thủy phân sụn khớp chân gà nhằm thu dịch axit amin (hoặc peptide) với xúc tác enzyme [6-8] và axit hữu cơ [9-12] là một giải pháp thay thế nhằm khắc phục những nhược điểm nêu trên. Hiện tại, các nghiên cứu này chỉ dừng lại ở khảo sát các yếu tố ảnh hưởng đến phản ứng thủy phân sụn khớp chân gà với xúc tác enzyme hoặc axit

¹ Khoa Hóa, Trường Đại học Bách khoa, Đại học Đà Nẵng
*Email: bvcuong@du.t.udn.vn.

hữu cơ, miền tối ưu của phản ứng thủy phân cùng điều kiện tối ưu của các yếu tố ảnh hưởng chưa được xác định. Do đó, khả năng ứng dụng của các nghiên cứu này với quy mô sản xuất lớn có thể bị hạn chế. Trong nghiên cứu này, phương pháp bề mặt đáp ứng cấu trúc có tâm được sử dụng để tối ưu hóa các yếu tố ảnh hưởng đến phản ứng thủy phân sụn khớp chân gà với xúc tác enzyme Protamex với hàm mục tiêu là dịch axit amin.

2. VẬT LIỆU VÀ PHƯƠNG PHÁP NGHIÊN CỨU

2.1. Sụn khớp chân gà

Sụn khớp chân gà đông lạnh (1 kg/1 block) được cung cấp bởi Công ty TNHH Thương mại và Dịch vụ Hoàng Phát - Đà Nẵng. Quá trình chuẩn bị sụn khớp chân gà cho nghiên cứu được tiến hành dựa trên các phương pháp Ponkham và cs (2011) [11], Potti và cs (2017) [12], Cordeiro và cs (2019) [9], Hammon và cs (2019) [10], Pap và cs (2022) [13].

Bảng 1. Mức, khoảng biến thiên của các yếu tố ảnh hưởng

Các yếu tố ảnh hưởng	Khoảng biến thiên		
	Mức dưới	Mức cơ sở	Mức trên
Nhiệt độ phản ứng (°C, X ₁)	35	40	45
pH môi trường phản ứng (X ₂)	3	4	5
Tỉ lệ enzyme (%), dựa trên cơ chất, X ₃	0,42	0,52	0,62
Thời gian phản ứng (phút, X ₄)	30	40	50
Tỉ lệ thể tích môi trường phản ứng: cơ chất (v:w, X ₅)	70	90	110

Phương trình hồi quy cấp 2 [14] có dạng:

$$H = b_0 + b_1X_1 + b_2X_2 + b_3X_3 + b_4X_4 + b_5X_5 + b_{12}X_1X_2 + b_{13}X_1X_3 + b_{14}X_1X_4 + b_{15}X_1X_5 + b_{23}X_2X_3 + b_{24}X_2X_4 + b_{25}X_2X_5 + b_{34}X_3X_4 + b_{35}X_3X_5 + b_{45}X_4X_5 + b_{11}X_1^2 + b_{22}X_2^2 + b_{33}X_3^2 + b_{44}X_4^2 + b_{55}X_5^2$$

Trong đó: H: Hiệu suất thu nhận nitơ axit amin (%), X₁: Nhiệt độ phản ứng (°C), X₂: pH môi trường phản ứng; X₃: Tỉ lệ enzyme (%), dựa trên cơ chất),

2.2. Chất xúc tác và hóa chất

Enzyme Protamex được cung cấp bởi Công ty TNHH Xuất nhập khẩu Vật tư khoa học Quốc tế STECH International. Các hóa chất dùng để nghiên cứu có độ tinh khiết cao.

2.3. Phương pháp nghiên cứu

2.3.1. Quá trình thủy phân sụn khớp chân gà

Phản ứng thủy phân sụn khớp chân gà được tiến hành dựa trên nghiên cứu của Bezerra và cs (2019) [8], Pap và cs (2022) [13].

2.3.2. Xây dựng mô hình toán học và ma trận thực nghiệm

Các yếu tố ảnh hưởng chính đến phản ứng thủy phân sụn khớp chân gà được chọn để tối ưu: Nhiệt độ phản ứng (°C), pH môi trường phản ứng, tỉ lệ enzyme (%), dựa trên cơ chất), thời gian phản ứng (phút) và tỉ lệ thể tích môi trường phản ứng: cơ chất (v:w). Mức, khoảng biến thiên của các yếu tố ảnh hưởng được trình bày ở bảng 1.

X₄: Thời gian phản ứng (phút), X₅: Tỉ lệ thể tích môi trường phản ứng; cơ chất (v:w). Phần mềm Minitab (Version 18, Minitab Inc., Pennsylvania State, USA) được sử dụng để xây dựng ma trận thí nghiệm với phương pháp bề mặt đáp ứng theo phương án cấu trúc có tâm. Ma trận thí nghiệm được trình bày ở bảng 2.

Bảng 2. Ma trận thí nghiệm

STT	X ₁ (°C)	X ₂	X ₃ (%)	X ₄ (phút)	X ₅ (mL: g)
1	35	3	0,42	30	70
2	45	3	0,42	30	70
3	35	5	0,42	30	70
4	45	5	0,42	30	70
5	35	3	0,62	30	70

KHOA HỌC CÔNG NGHỆ

6	45	3	0,62	30	70
7	35	5	0,62	30	70
8	45	5	0,62	30	70
9	35	3	0,42	50	70
10	45	3	0,42	50	70
11	35	5	0,42	50	70
12	45	5	0,42	50	70
13	35	3	0,62	50	70
14	45	3	0,62	50	70
15	35	5	0,62	50	70
16	45	5	0,62	50	70
17	35	3	0,42	30	110
18	45	3	0,42	30	110
19	35	5	0,42	30	110
20	45	5	0,42	30	110
21	35	3	0,62	30	110
22	45	3	0,62	30	110
23	35	5	0,62	30	110
24	45	5	0,62	30	110
25	35	3	0,42	50	110
26	45	3	0,42	50	110
27	35	5	0,42	50	110
28	45	5	0,42	50	110
29	35	3	0,62	50	110
30	45	3	0,62	50	110
31	35	5	0,62	50	110
32	45	5	0,62	50	110
33	28,108	4	0,52	40	90
34	51,892	4	0,52	40	90
35	40	1,621	0,52	40	90
36	40	6,378	0,52	40	90
37	40	4	0,283	40	90
38	40	4	0,757	40	90
39	40	4	0,52	16,216	90
40	40	4	0,52	63,784	90
41	40	4	0,52	40	42,432
42	40	4	0,52	40	137,568
43	40	4	0,52	40	90
44	40	4	0,52	40	90
45	40	4	0,52	40	90
46	40	4	0,52	40	90
47	40	4	0,52	40	90
48	40	4	0,52	40	90
49	40	4	0,52	40	90

50	40	4	0,52	40	90
51	40	4	0,52	40	90
52	40	4	0,52	40	90

Ghi chú: STT: Số thứ tự.

2.3.3. Các phương pháp phân tích

- Xác định hiệu suất thu nhận nitơ axit amin

Nitơ axit amin của sản phẩm thô được xác định bằng phương pháp của Pope và Stevens (1939) [15]. Hiệu suất thu nhận nitơ axit amin được tính theo công thức,

$$H_{N-aa} = \frac{M_{N-aa}}{M_{pm}} \times 100\%$$

Trong đó: M_{N-aa} : Lượng nitơ axit amin có trong sản phẩm thô thu được sau phản ứng thủy phân (g), M_{pm} : Lượng nitơ protein có trong sụn khớp chân gà (g), H_{N-aa} : Hiệu suất thu nhận nitơ axit amin (%).

- Phân tích, đánh giá phương trình hồi quy và tối ưu hóa theo phương án cấu trúc có tâm

Sự tương thích của phương trình hồi quy đối với thực nghiệm, ý nghĩa của hệ số b, mức độ ảnh hưởng của từng yếu tố và sự tương tác giữa các yếu tố đến hiệu suất thu nhận nitơ axit amin được đánh giá qua hệ số R^2 , kiểm định Student, kiểm định Fisher [14, 16, 17].

3. KẾT QUẢ NGHIÊN CỨU VÀ THẢO LUẬN

Các thí nghiệm được tiến hành theo ma trận thực nghiệm ở bảng 2, mỗi thí nghiệm cho từng điều kiện phản ứng thủy phân được lặp lại 2 lần. Kết quả thí nghiệm được trình bày ở bảng 3, theo đó, giá trị lớn nhất của hiệu suất thu nhận nitơ axit amin có thể đạt được vào khoảng 58% tương ứng với thí nghiệm 25 và thí nghiệm 28.

Bảng 3. Kết quả thí nghiệm

STT	H ₁ (%)	H ₂ (%)	STT	H ₁ (%)	H ₂ (%)
1	17,684	17,649	27	44,088	44,266
2	35,157	32,292	28	46,502	57,895
3	22,017	23,579	29	44,177	43,825
4	27,888	39,789	30	43,738	36,979
5	20,673	23,485	31	41,601	44,266
6	30,763	33,963	32	39,686	43,912
7	26,579	30,763	33	24,582	24,681
8	22,061	20,427	34	37,971	26,316
9	25,003	25,003	35	13,316	11,323
10	29,415	30,763	36	28,252	36,145
11	27,723	25,103	37	28,421	26,526
12	24,903	33,827	38	30,195	30,195
13	19,120	21,973	39	37,819	32,211
14	19,044	17,579	40	28,650	32,082
15	22,150	29,592	41	13,426	15,125
16	25,003	22,105	42	43,443	31,795
17	41,684	39,290	43	24,632	24,632
18	36,686	29,926	44	32,211	32,211
19	30,166	32,356	45	32,146	32,146
20	45,948	50,644	46	24,632	24,632
21	37,351	39,290	47	32,211	32,211
22	36,979	39,686	48	32,146	32,146

23	39,368	34,876	49	24,632	24,632
24	50,543	41,684	50	32,211	32,211
25	51,049	57,549	51	32,146	32,146
26	36,759	39,134	52	24,632	24,632

Ghi chú: STT: Số thứ tự

Phương trình hồi quy cấp 2 được xây dựng bởi phần mềm Minitab (Version 18):

$$H = -27,6 + 0,81X_1 - 3,74X_2 + 48,0X_3 + 0,303X_4 + 0,134X_5 + 0,220X_1X_2 - 2,13X_1X_3 - 0,0365X_1X_4 - 0,00865X_1X_5 - 0,88X_2X_3 + 0,0084X_2X_4 + 0,0076X_2X_5 - 1,406X_3X_4 + 0,207X_3X_5 + 0,00902X_4X_5 + 0,0241X_1^2 - 0,481X_2^2 + 68,1X_3^2 + 0,01363X_4^2 + 0,00043X_5^2$$

Có 67,90% kết quả thí nghiệm được mô tả bởi phương trình hồi quy cấp 2 tương ứng với giá trị R^2

= 0,6790. Kết quả này có thể chấp nhận được khi số lượng yếu tố ảnh hưởng được dùng để tối ưu hóa khá lớn (5 yếu tố). Kiểm định Student và kiểm định Fisher sử dụng giá trị P để đánh giá ý nghĩa của hệ số b trong phương trình hồi quy, mức độ ảnh hưởng của từng yếu tố và sự tương tác của từng yếu tố đến hiệu suất thu nhận nitơ axit amin [14, 16, 17].

Bảng 4. Kết quả kiểm định Student và kiểm định Fisher

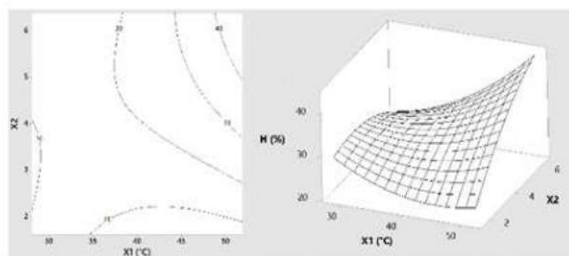
Phương trình hồi quy	Hệ số b	Giá trị T	Giá trị F	Giá trị P
	b_0	22,63		0,000
		8,78		0,000
X_1	b_1	2,07	4,29	0,042
X_2	b_2	2,76	7,62	0,007
X_3	b_3	-1,19	1,41	0,238
X_4	b_4	0,73	0,54	0,466
X_5	b_5	11,43	130,56	0,000
X_1X_2	b_{12}	1,48	2,20	0,275
X_1X_3	b_{13}	-1,44	2,08	0,382
X_1X_4	b_{14}	-2,47	6,08	0,217
X_1X_5	b_{15}	-1,17	1,37	0,015
X_2X_3	b_{23}	-0,12	0,01	0,756
X_2X_4	b_{24}	0,11	0,01	0,142
X_2X_5	b_{25}	0,21	0,04	0,153
X_3X_4	b_{34}	-1,90	3,61	0,016
X_3X_5	b_{35}	0,56	0,31	0,246
X_4X_5	b_{45}	2,44	5,93	0,905
X_1^2	b_{11}	1,10	1,21	0,910
X_2^2	b_{22}	-0,88	0,77	0,837
X_3^2	b_{33}	1,24	1,55	0,061
X_4^2	b_{44}	2,49	6,20	0,577
X_5^2	b_{55}	0,31	0,10	0,017

Với mức độ tin cậy 95%, phương trình hồi quy cấp 2 có sự tương thích khá cao đối với thực nghiệm khi $P = 0,000 < 0,05$. Các yếu tố có ảnh hưởng đáng kể đến hiệu suất thu nhận nitơ axit amin: Nhiệt độ phản ứng, pH môi trường phản ứng

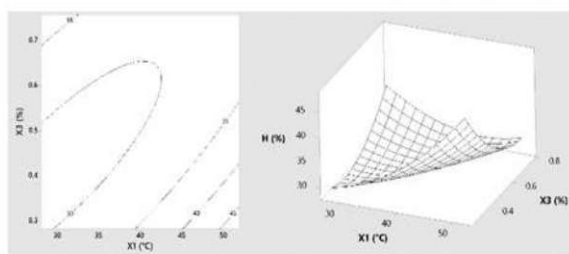
và tỉ lệ thể tích môi trường phản ứng: cơ chất khí P lần lượt là 0,042; 0,007; 0,000 < 0,05. Điều này tương ứng với lý thuyết phản ứng hóa sinh xúc tác bởi enzyme của Lê Ngọc Tú và cs (2002) [18]. Các yếu tố có ảnh hưởng thấp đến hiệu suất thu nhận

nito axit amin: tỉ lệ enzyme ($P = 0,238 > 0,05$) và thời gian phản ứng ($P = 0,466 > 0,05$). Đối với quy mô sản xuất pilot và sản xuất lớn, các yếu tố ảnh hưởng: Nhiệt độ phản ứng, pH môi trường phản ứng và tỉ lệ thể tích môi trường phản ứng: cơ chất khi thay đổi để đạt được hiệu suất thu nhận nito axit amin cực đại sẽ có chi phí thấp hơn so với sự thay đổi của tỉ lệ enzyme và thời gian phản ứng. Do đó, phương trình hồi quy cấp 2 xây dựng được có mức độ ứng dụng cao trong thực tế sản xuất. Hiệu suất thu nhận nito axit amin chịu ảnh hưởng lớn của sự tương tác giữa các cặp yếu tố: Nhiệt độ phản ứng và tỉ lệ thể tích môi trường phản ứng: cơ chất ($P = 0,015 < 0,05$), tỉ lệ enzyme và thời gian phản ứng ($P = 0,016 < 0,05$). Từ kết quả phân tích này, hai yếu tố ảnh hưởng cùng thay đổi giá trị đồng thời để đạt được hiệu suất thu nhận nito axit amin cực đại là các cặp yếu tố: Nhiệt độ phản ứng và tỉ lệ thể tích môi trường phản ứng: cơ chất và tỉ lệ enzyme và thời gian phản ứng. Cặp yếu tố thời gian phản ứng và tỉ lệ thể tích môi trường phản ứng: cơ chất ($P = 0,905 > 0,05$) không nên xem xét để thay đổi đồng thời nhằm tìm giá trị cực đại của hiệu suất thu nhận nito axit amin. Tương tác bậc 2 của tỉ lệ thể tích môi trường phản ứng: cơ chất có ảnh hưởng lớn đến hiệu suất thu nhận nito axit amin khi $P = 0,017 < 0,05$. Phác đồ đường viền 2D và phác đồ bề mặt 3D cho phép đánh giá tương tác giữa các yếu tố ảnh hưởng đến hiệu suất thu nhận nito axit amin và dự đoán được hiệu suất thu nhận nito axit amin. Hiệu suất thu nhận nito axit amin $> 40\%$ khi nhiệt độ phản ứng: $48 - 55^\circ\text{C}$ và pH: $5 - 6,5$ (Hình 1). Tuy nhiên, trong khoảng biến thiên được khảo sát hiệu suất thu nhận nito axit amin không hội tụ do rất khó xác định giá trị của nhiệt độ phản ứng và pH để H đạt giá trị cực đại. Hiệu suất thu nhận nito axit amin $> 45\%$ khi nhiệt độ phản ứng: $48 - 55^\circ\text{C}$ và tỉ lệ enzyme: $0,28 - 0,33\%$ (Hình 2). Mặc dù H hội tụ nhưng đó là giá trị cực tiểu, do đó tương tác giữa nhiệt độ phản ứng và tỉ lệ enzyme có ảnh hưởng nghịch đối với hiệu suất thu nhận nito axit amin. Hiệu suất thu nhận nito axit amin $> 50\%$ khi nhiệt độ phản ứng: $50 - 55^\circ\text{C}$ và thời gian phản ứng: $15 - 20$ phút (Hình 3). Tương tự với ảnh hưởng của X_1, X_3 đối với H, hiệu suất thu nhận nito axit amin hội tụ tại giá trị cực tiểu. Hiệu suất thu nhận nito axit amin $> 50\%$ khi nhiệt độ phản ứng:

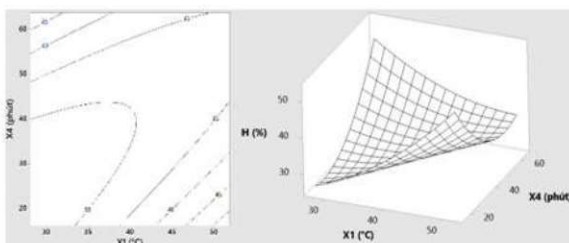
$25 - 33^\circ\text{C}$ và tỉ lệ thể tích môi trường phản ứng: cơ chất: $131 - 135$ (mL:g) (Hình 4). H có thể tăng khi tăng nhiệt độ phản ứng và tỉ lệ thể tích môi trường phản ứng: cơ chất, điều này phù hợp với lý thuyết phản ứng hóa sinh xúc tác bởi enzyme [18].



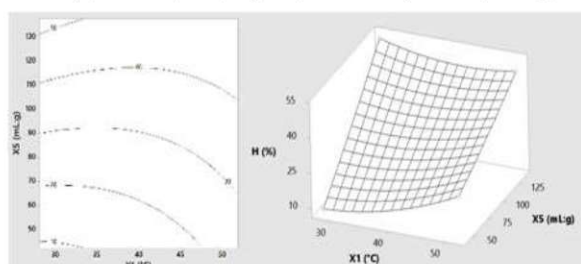
Hình 1. Ảnh hưởng của X_1 ($^\circ\text{C}$) và X_2 đối với H (%) khi $X_3 = 0,52\%$; $X_4 = 80$ (phút) và $X_5 = 90$ (mL: g)



Hình 2. Ảnh hưởng của X_1 ($^\circ\text{C}$) và X_3 (%) đối với H (%) khi $X_2 = 4$; $X_4 = 80$ (phút) và $X_5 = 90$ (mL: g)



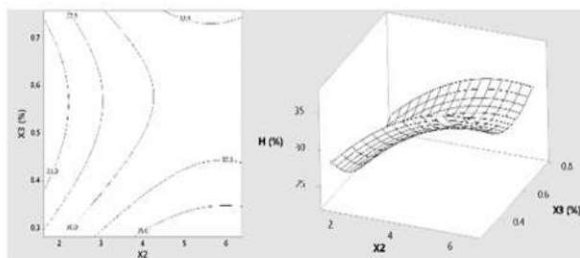
Hình 3. Ảnh hưởng của X_1 ($^\circ\text{C}$) và X_4 (phút) đối với H (%) khi $X_2 = 4$; $X_3 = 0,52\%$ và $X_5 = 90$ (mL: g)



Hình 4. Ảnh hưởng của X_1 ($^\circ\text{C}$) và X_5 (mL: g) đối với H (%) khi $X_2 = 4$; $X_3 = 0,52\%$ và $X_4 = 40$ (phút)

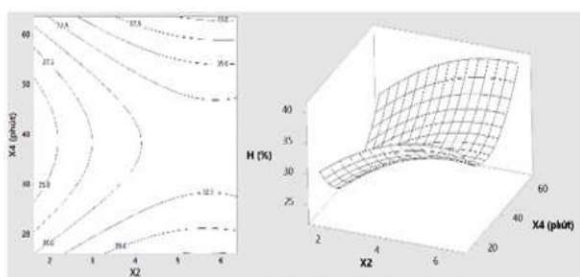
Hiệu suất thu nhận nito axit amin $> 35\%$ khi pH: $3,8 - 6,5$ và tỉ lệ enzyme: $0,28 - 0,35\%$ (Hình 5).

Giá trị của H không hội tụ với ảnh hưởng của X_2 và X_3 , do đó, rất khó để xác định được giá trị cực đại của hiệu suất thu nhận nitơ axit amin với ảnh hưởng của cặp yếu tố pH và tỉ lệ enzyme.

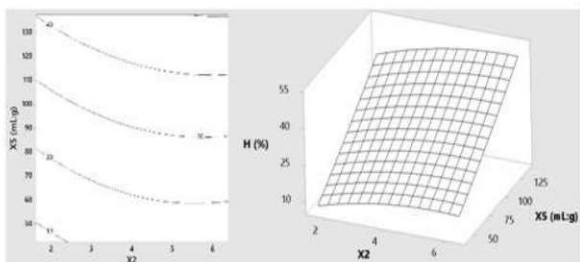


Hình 5. Ảnh hưởng của X_2 và X_3 (%) đối với H (%) khi $X_1 = 40^\circ\text{C}$; $X_4 = 40$ (phút) và $X_5 = 90$ (mL: g)

Hiệu suất thu nhận nitơ axit amin > 40% khi pH: 4,8 – 6,5 và thời gian phản ứng: 63 – 65 phút (Hình 6). Dưới ảnh hưởng của cặp yếu tố pH và thời gian phản ứng, hiệu suất thu nhận nitơ axit amin không hội tụ do đó rất khó xác định miền cực đại của hiệu suất thu nhận nitơ axit amin.



Hình 6. Ảnh hưởng của X_2 và X_4 (phút) đối với H (%) khi $X_1 = 40^\circ\text{C}$; $X_3 = 0,52\%$ và $X_5 = 90$ (mL: g)

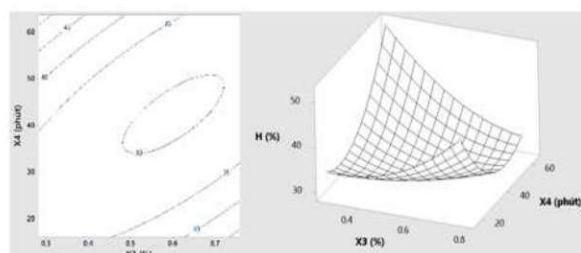


Hình 7. Ảnh hưởng của X_2 và X_5 (mL: g) đối với H (%) khi $X_1 = 40^\circ\text{C}$; $X_3 = 0,52\%$ và $X_4 = 40$ (phút)

Hiệu suất thu nhận nitơ axit amin > 50% khi pH: 5,2 – 6,5 và tỉ lệ thể tích môi trường phản ứng: cơ chất: 134 – 135 (mL: g) (Hình 7). Từ phác đồ bê mặt 3D, H tăng khi tăng tỉ lệ thể tích môi trường phản ứng: cơ chất, ảnh hưởng của pH

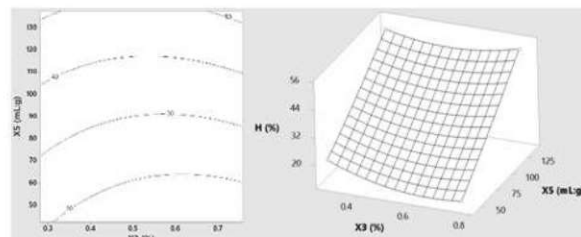
không thay đổi được giá trị của hiệu suất thu nhận nitơ axit amin.

Hiệu suất thu nhận nitơ axit amin > 50% khi tỉ lệ enzyme: 0,28 – 0,32% và thời gian phản ứng: 62 – 65 phút (Hình 8). Mặc dù P của X_3X_4 là $0,016 < 0,05$ (Bảng 4), tuy nhiên, miền hội tụ của H đến giá trị cực tiểu và hiệu suất thu nhận nitơ axit amin đạt giá trị lớn nhất tại biên. Do đó, ý nghĩa thực tế khi thay đổi đồng thời cặp yếu tố tỉ lệ enzyme và thời gian phản ứng để có được giá trị cực đại của H bị hạn chế.



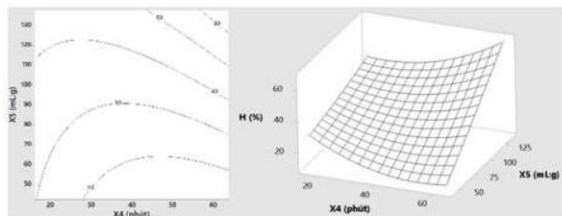
Hình 8. Ảnh hưởng của X_3 (%) và X_4 (phút) đối với H (%) khi $X_1 = 40^\circ\text{C}$; $X_2 = 4$ và $X_5 = 90$ (mL: g)

Hiệu suất thu nhận nitơ axit amin > 50% khi tỉ lệ enzyme: 0,67 – 0,8% và tỉ lệ thể tích môi trường phản ứng: cơ chất: 132 – 135 (mL: g) (Hình 9). Tương tự với hình 7, hiệu suất thu nhận nitơ axit amin chịu ảnh hưởng của tỉ lệ thể tích môi trường phản ứng: cơ chất, sự thay đổi của tỉ lệ enzyme hầu như không ảnh hưởng đến H.



Hình 9. Ảnh hưởng của X_3 (%) và X_5 (mL: g) đối với H (%) khi $X_1 = 40^\circ\text{C}$; $X_2 = 4$ và $X_4 = 40$ (phút)

Hiệu suất thu nhận nitơ axit amin > 60% khi thời gian phản ứng: 55 – 65 phút và tỉ lệ thể tích môi trường phản ứng: cơ chất: 125 – 140 (mL:g) (Hình 10). Tỉ lệ thể tích môi trường phản ứng: cơ chất chiếm ưu thế trong tương tác của X_4X_5 đối với H, do đó ảnh hưởng của cặp yếu tố: thời gian phản ứng và tỉ lệ thể tích môi trường phản ứng: cơ chất đến H rất thấp.



Hình 10. Ảnh hưởng của X_4 (phút) và X_5 (mL: g) đối với H (%) khi $X_1 = 40^\circ\text{C}$; $X_2 = 4$ và $X_3 = 0,52\%$

Phác đồ đường viền 2D và bề mặt 3D cho thấy, hiệu suất thu nhận nitơ axit amin có thể lớn hơn 60% và kết quả phân tích tương thích với kiểm định Student và kiểm định Fisher. Đồng thời chúng cũng cho thấy, hiệu suất thu nhận nitơ axit amin không thể đạt giá trị cực đại với sự thay đổi của một cặp yếu tố ảnh hưởng. Nghiệm tối ưu của phương trình hồi quy: $X_1 = 28,1079^\circ\text{C}$; $X_2 = 3,92793$; $X_3 = 0,282159\%$; $X_4 = 63,7841$ (phút); $X_5 = 137,568$ (mL: g) với hiệu suất thu nhận nitơ axit amin đạt giá trị cực đại $H_{\max} = 87,7969\%$ ở kì vọng $d = 1$ (Hình 11). Dựa trên hình 11, hiệu suất thu nhận nitơ axit amin sẽ tăng khi nhiệt độ phản ứng (X_1)

và tỉ lệ enzyme (X_3) giảm, tuy nhiên, theo lý thuyết phản ứng hóa sinh xúc tác bởi enzyme của Lê Ngọc Tú và cs (2002) [18], hiệu suất thu nhận sản phẩm sẽ giảm khi giảm nhiệt độ phản ứng và nồng độ enzyme. Cũng theo hình 11, hiệu suất thu nhận nitơ axit amin tăng khi tăng thời gian phản ứng và tỉ lệ thể tích môi trường phản ứng: cơ chất. Tuy nhiên, tại giá trị $X_4 = 63,7841$ (phút), phản ứng thủy phân đã đạt được trạng thái cân bằng, việc tăng thời gian phản ứng không có ý nghĩa và không có lợi cho quy mô sản xuất pilot và quy mô sản xuất lớn. Xét về tỉ lệ thể tích môi trường phản ứng: cơ chất, thể tích môi trường phản ứng tăng sẽ kéo theo thể tích thiết bị phản ứng tăng và quá trình cô đặc tách nước sẽ cần thiết nhằm giảm chi phí cho quá trình vận chuyển, bảo quản và ứng dụng sản phẩm thủy phân cho các mục đích tiếp theo. Do đó, dựa trên các phân tích nêu trên, các giá trị tối ưu của các yếu tố ảnh hưởng đạt được ở nghiên cứu này đáp ứng được mong đợi khi hiệu suất thu nhận nitơ axit amin đạt 87,7969% với kì vọng $d = 1$.



Hình 11. Nghiệm tối ưu của phương trình hồi quy và giá trị cực đại của hiệu suất thu nhận nitơ axit amin

Hiệu suất thu nhận nitơ axit amin thực tế đạt giá trị cực đại $H_{\max} = 86,279 \pm 1,589\%$ ở điều kiện phản ứng thủy phân tối ưu. Có sự sai khác giữa hiệu suất thu nhận nitơ axit amin tính bằng phương trình hồi quy so với thực nghiệm vì sai số trong quá trình thí nghiệm và tính toán kết quả thí nghiệm.

4. KẾT LUẬN

Trong nghiên cứu này, đã xác định được hiệu suất thu nhận nitơ axit amin đạt giá trị cực đại $H_{\max} = 86,279 \pm 1,589\%$ khi nhiệt độ phản ứng $28,11^\circ\text{C}$; pH môi trường phản ứng 3,93; tỉ lệ enzyme 0,28%; thời gian phản ứng 63,78 phút; tỉ lệ thể tích môi trường phản ứng: cơ chất 137,57 (mL: g). Nghiên

cứu đã nâng cao khả năng ứng dụng của phản ứng thủy phân sụn khớp chân gà với xúc tác enzyme Protamex nhằm thu dịch axit amin khi miền tối ưu đã được xác định. Dựa trên kết quả nghiên cứu, quy mô pilot sẽ được tiến hành nhằm kiểm tra lại tính ứng dụng của nghiên cứu ở quy mô sản xuất lớn.

TÀI LIỆU THAM KHẢO

- Meeker, D. L. (2006). *Essential Rendering - All about the Animal By-products Industry*. National Renderers Association, Virginia.
- Mangino, E. (2019). AS/Canada projects slightly slower growth in Canadian chicken meat

- production for 2020. *GAIN Report Number: CA19029 (8/29/2019) - USDA America.*
3. Nakano, T, Sim, J. S. (1995). A study of the chemical composition of the proximal tibial articular cartilage and growth plate of broiler chickens. *Poultry science*, 74(3): 538-550.
 4. Luo, X. M., Fosmire, G. J.; Leach Jr, R. M. (2002). Chicken keel cartilage as a source of chondroitin sulfate. *Poultry Science*, 81(7): 1086-1089.
 5. Thureen, P. J. (2012). *Neonatal nutrition and metabolism*. Cambridge University Press, Cambridge, UK.
 6. Bui, V. C., Nguyen, T. K. Chi, Bui, X. D. (2020). Screening of factors influencing the hydrolysis reaction of chicken leg cartilage with Protamex enzyme as a catalyst. *The Journal of Agriculture Development*, 19(4): 73-79.
 7. Bui, C. V., Nguyen, M. N. T., Nguyen, Q. V., Bui, D. X., Pham, M. T. (2019). Study on hydrolysis reaction of chicken cartilage using Flavourzyme. *UED Journal of Social Sciences, Humanities, Education*, 9(4): 1-6.
 8. Bezerra, T. K. A., de Lacerda, J. T. J. G., Salu, B. R., Oliva, M. L. V., Juliano, M. A., Pacheco, M. T. B., Madruga, M. S. (2019). Identification of angiotensin I-converting enzyme-inhibitory and anticoagulant peptides from enzymatic hydrolysates of chicken combs and wattles. *Journal of medicinal food* 22(12): 1294-1300.
 9. Cordeiro, A. R. R. d. A., BEZERRA, T. K. A., QUEIROZ, A. L. M. d.; GALVÃO, M. d. S., CAVALCANTI, M. T., PACHECO, M. T. B., Madruga, M. S. (2019). Collagen production from chicken keel bone using acid and enzymatic treatment at a temperature of 30°C. *Food Science Technology*, 40: 491-497.
 10. Hammon, K. A., Amanda Dahl BS, CCRA, Guttman, N., Fong, M. (2019). Novel hydrolyzed chicken sternal cartilage extract improves facial epidermis and connective tissue in healthy adult females: a randomized, double-blind, placebo-controlled trial. *Alternative therapies in health medicine*, 25(5): 12-29.
 11. Ponkham, W., Limroongreungrat, K., Sangnark, A. (2011). Extraction of collagen from hen eggshell membrane by using organic acids. *Thai Journal of Agricultural Science*, 44(44): 354-360.
 12. Potti, R. B., Fahad, M. (2017). Extraction and characterization of collagen from broiler chicken feet (*Gallus gallus domesticus*) - Biomolecules from poultry waste. *Journal of Pure and Applied Microbiology*, 11: 315-322.
 13. Pap, N., Mäkinen, S., Moilanen, U., Vahvaselkä, M., Maunuksela, J., Kymäläinen, M., Pihlanto, A. (2022). Optimization of valorization of chicken MDCM to produce soluble protein and collagen peptides. *Applied Sciences*, 12(3): 1327.
 14. Montgomery, D. C., Runger, G. C. (2010). *Applied statistics and probability for engineers*. John Wiley & Sons, Hoboken, New Jersey, USA.
 15. Pope, C. G., Stevens, M. Fr. (1939). The determination of amino-nitrogen using a copper method. *Biochemical Journal*, 33(7): 1070.
 16. Chen, J., Liu, D., Shi, B., Wang, H., Cheng, Y., Zhang, W. (2013). Optimization of hydrolysis conditions for the production of glucomanno-oligosaccharides from konjac using β -mannanase by response surface methodology. *Carbohydrate polymers*, 93(1): 81-88.
 17. Kumar, M, Jain, A. K., Ghosh, M., Ganguli, A. (2012). Statistical optimization of physical parameters for enhanced bacteriocin production by *L. casei*. *Biotechnology and bioprocess engineering*, 17(3): 606-616.
 18. Lê Ngọc Tú, Lê Văn Chú, Đặng Thị Thu, Phạm Quốc Thắng, Nguyễn Thị Thịnh, Bùi Đức Hợi, Lưu Duẩn, Lê Doãn Diên (2002). *Hóa sinh công nghiệp*. Nhà xuất bản Khoa học và Kỹ thuật, Hà Nội.

OPTIMIZATION OF HYDROLYSIS REACTION OF CHICKEN CARTILAGE BY PROTAMEX ENZYME
AS A CATALYST TO OBTAIN AMINO ACID SOLUTION

Nguyen Thi Minh Nguyet¹, Nguyen Thi Kim Chi¹, Bui Viet Cuong^{1,*}, Bui Xuan Dong¹

¹*Faculty of Chemical Engineering, University of Science and Technology,*

The University of Danang

**Email: bvcuong@dut.udn.vn*

Summary

The purpose of this article was to optimize the significant factors affecting the hydrolysis reaction of chicken cartilage by Protamex enzyme as a catalyst to obtain the amino acid solution. The significantly selected factors for optimization with the response surface methodology were reaction temperature (°C), pH, ratio of enzyme (%), based on the substrate), reaction time (min), and ratio of reaction volume to the substrate (mL: g). The regression function based on the experimental results was built by Minitab software (Version 18): $H = -27.6 + 0.81X_1 - 3.74X_2 + 48.00X_3 + 0.303X_4 + 0.134X_5 + 0.220X_1X_2 - 2.13X_1X_3 - 0.0365X_1X_4 - 0.00865X_1X_5 - 0.88X_2X_3 + 0.0084X_2X_4 + 0.0076X_2X_5 - 1.406X_3X_4 + 0.207X_3X_5 + 0.00902X_4X_5 + 0.0241X_1^2 - 0.481X_2^2 + 68.1X_3^2 + 0.01363X_4^2 + 0.00043X_5^2$, where: H is the efficiency of obtained amino acid (%), X_1 is reaction temperature (°C), X_2 is pH, X_3 is the ratio of the enzyme (%), based on the substrate), X_4 is reaction time (min), and X_5 is the ratio of reaction volume to the substrate (mL: g). The optimal solutions of the regression function were $X_1 = 28.1079^\circ\text{C}$, $X_2 = 3.92793$, $X_3 = 0.282159\%$, $X_4 = 63.7841$ (min), and $X_5 = 137.568$ (mL: g) which gave the maximal value of obtained amino acid efficiency: $H_{\max} = 87.7969\%$ with d = 1. The experimental result at the optimal condition gave the maximal value of obtained amino acid efficiency: $H_{\max} = 86.279 \pm 1.589\%$. This research has increased the application ability of the hydrolysis reaction of chicken cartilage using the Protamex enzyme as a catalyst.

Keywords: *Protamex enzyme, efficiency of obtained amino acid, optimization, hydrolysis reaction, chicken cartilage.*

Người phản biện: PGS.TS. Lê Anh Đức

Ngày nhận bài: 4/01/2023

Ngày thông qua phản biện: 16/01/2023

Ngày duyệt đăng: 24/3/2023